



ISTRAŽIVAČKI POTENCIJALI I PRIMJENA SUVREMENIH TEHNOLOGIJA U GEOTEHNICI NA KORIDORU VC

Doc.dr.sc. Jasmin Bušo, dipl.ing.gra.
Izvršni direktor za projektiranje i građenje
JP Autoceste FBiH

Sažetak: Veliki infrastrukturni projekti kao što je izgradnja autoceste na Koridoru Vc istovremeno predstavljaju i značajnu istraživačku potencijal u smislu poboljšanja postojeće prakse i uvođenja novih tehnologija.

U tekstu su navedena tri primjera inovativnog pristupa dimenzioniranju i realizaciji geotehničkih konstrukcija. Iako svaki primjer zasebno ne predstavlja ništa što već nije poznato usko specijaliziranoj geotehničkoj javnosti, njihova primjena u realnom vremenu tijekom izvođenja radova oslikava svojevrsnu evoluciju u pristupu i metodologiji kod izvođenja radova. Naime, prikupljanje i korištenje podataka proizašlih iz eksperimentata in situ u punoj veličini, realiziranih prilikom izvođenja radova, ne predstavlja samo konkretnu implementaciju Eurocodu 7 na našim prostorima, već ide i korak dalje u primjeni opservacionih metoda u proračunima. Na taj način, strategija izvođenja se sve više zasniva na znanju što je u konaku nici od izuzetnog interesa za investitora i društvo u cjelini. Prvi primjer tretira probno opterećivanje bušenih šipova izvedenim u flišu. U tekstu je objašnjeno proračun i dimenzioniranje pritisnutog šipa prema rezultatima eksperimentalnog ispitivanja statičkim probnim opterećenjem. Dobiveni rezultati su uspoređeni s rezultatima dobivenim primjenom važeće tehničke regulative te su u tom smjeru izvedeni odredeni zaključci u pogledu validnosti teorijskog pristupa koji je tamo dat. Paralelno, ispitivanja na terenu su iskorištena u smislu optimizacije dimenzija šipova.

Drugi dio teksta predstavlja tipičan primjer primjene metode opažanja u tunelogradnji. Naime, prema dosadašnjoj praksi u BiH, ulazni geotehnički parametri terena za projektiranje tunela su određivani uz nedovoljan obim prethodno izvedenih istražnih radova. Konsekvenčno toga su projekti primarne podgrade izrazito konzervativni što redovno dovodi do značajnog probijanja budžeta prilikom izgradnje tunela. U tekstu je prikazan određeni oblik interaktivnog projektiranja, odnosno primjene numeričkih povratnih proračuna u cilju prilagođavanja projekta tunela stvarnim uvjetima na terenu što u konaku nici dovodi do optimizacije tunelske podgrade.

Treći dio opisuje tipičan primjer primjene inovativne tehnologije u tunelogradnji zasnovanoj na prikupljenim podacima s terena. Prema uobičajenoj praksi, za armiranje primarne podgrade tunela od prskanog betona se upotrebljavaju armaturne mreže, i njih je zadatak osigurati potrebnu nosivost i dukljnost primarne podgrade. Međutim, armiranje betona se može izvršiti i pomoću mikrovlaknima koji ne zahtijevaju gotovo nikakvo dodatno vrijeme ugradnje što značajno povećava uinkovitost u realizaciji. Mikroarmirani prskani beton do sada nije bio subjekt normiranja što ne potiče projektante na njegovu upotrebu iako predstavlja u određenim situacijama značajno poboljšanje. Ovdje je opisano na koji način se može prevazići problem dimenzioniranja mikroarmiranog prskanog betona i omogućiti njegova upotreba.

Ključne riječi: optimizacija geotehničkih konstrukcija, probno opterećivanje šipova, metoda opažanja, mjerni profil, povratna analiza, mikroarmirani beton



RESEARCH POTENTIALS AND APPLICATION OF MODERN TECHNOLOGIES IN GEOTECHNICS ON THE CORRIDOR VC

Abstract: Large infrastructural projects such as construction of the highway on the Vc Corridor are also a significant research potential in terms of improving the existing practices and introducing new technologies.

The paper outlines three examples of innovative approaches to sizing and realization of geotechnical structures. Although each of the examples separately does not represent anything that has not already been known to the narrowly specialized geotechnical public, their application in real time during execution of works illustrates a kind of evolution in the approach and methodology with execution of works. Namely, collection and use of data resulting from full-scale in situ experiments carried out during execution of works not only represents a concrete implementation of Eurocode 7 in our region, but also makes a further step in applying observation methods in calculations. In this way, strategies of contractors are increasingly based on knowledge which is eventually of great interest to investors and society as a whole.

The first example involves test loading of bored piles constructed in flysch. The paper explains calculations and sizing of a pressed pile according to results of experimental testing by static test loads. The results were compared with the results obtained by applying the applicable technical regulations, and to that end certain conclusions were drawn regarding the validity of the theoretical approach given therein. At the same time, the field tests were used in terms of optimizing the dimensions of piles.

The second part of the paper represents a typical example of application of the observation method in tunneling. Namely, according to present practice in BiH, input geotechnical parameters of terrain for tunnel design are determined with insufficient scope of previously performed research works. Designs of primary support work are consequently extremely conservative, which regularly leads to a significant exceeding of budgets during construction of tunnels. The paper presents a specific form of interactive design, or application of numerical backward calculations aimed at adjusting tunnel design to actual conditions on the ground, which ultimately leads to optimization of tunnel support work.

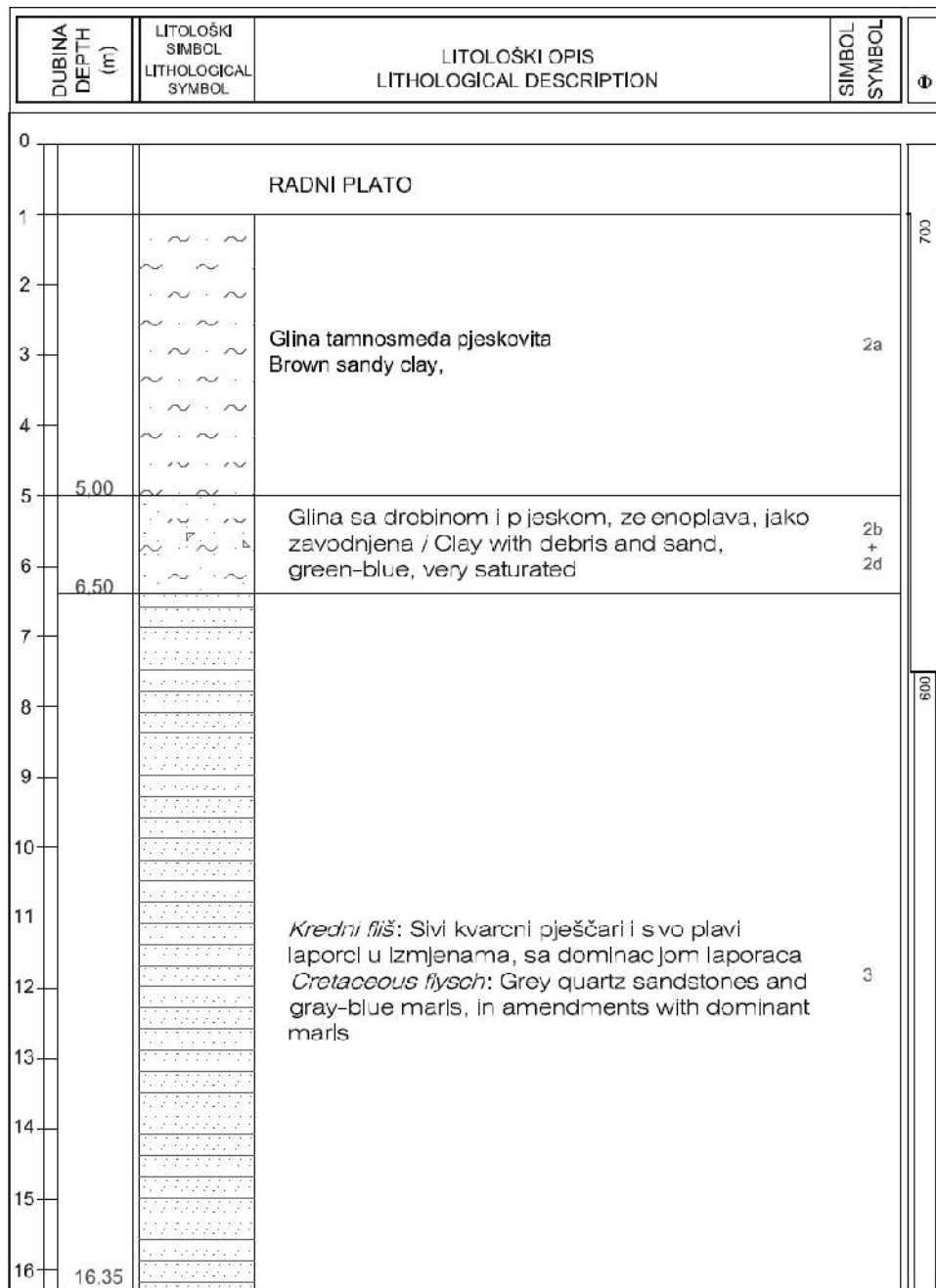
The third section describes a typical example of application of innovative technology in tunneling based on data collected from the field. It is a usual practice that reinforcing of primary tunnel supports made of shotcrete uses steel fabric, aiming to provide the necessary bearing capacity and ductility of primary support. However, reinforcing of concrete can also be performed by plastic microfibers that do not require almost any additional placing time, significantly increasing efficiency in realization. So far, fiber reinforced shotcrete has not been subject to standardization, which does not encourage designers to use it, although it represents a significant improvement in certain situations. It is described here how one can overcome the problem of dimensioning fiber reinforced shotcrete and make its use possible.

Key words: optimization of geotechnical structures, test load of piles, observation method, measured profile, backward analysis, fiber reinforced concrete



1. PROBNO OPTERE ENJE ŠIPOVA

Most Gladno polje kod Sarajeva



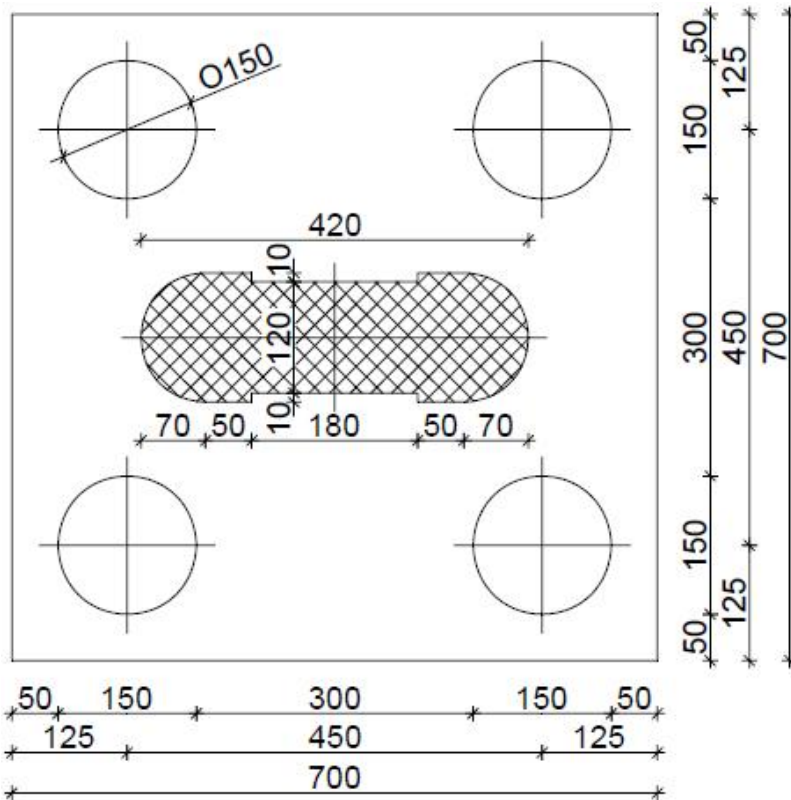
Geološki profil : глина до -6.5m
supstrat : fliš

- Nemogućnost vađenja neporemeđenih uzoraka iz supstrata



Geotehnička misija G21 (Glavni projekt)

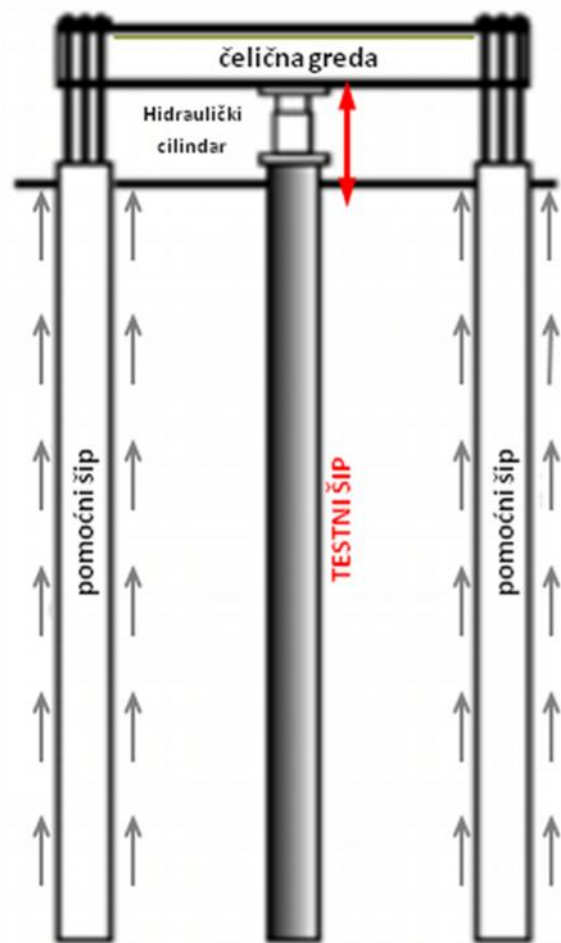
Nosivost šipa			
kohezija	c =	90	kPa
mobilizovana kohezija	c _m =	36	kPa
ugao unutrašnjeg trenja	φ =	26	°
mobilizovani ugao trenja	φ _m =	18,01	°
koeficijent nosivosti	N _{cr} =	60	
koeficijent nosivosti	N _{qr} =	8	
koeficijent nosivosti	N _{γf} =	2,3	
koeficijent za aktivni pritisak tla	k _a =	0,562	
vertikalni pritisak tla	σ _d =	537,6	kPa
površina baze šipa	A _q =	1,767	m ²
dozvoljeno specifično opterećenje	q =	3873,80	kN/m ²
nosivosti baze šipa	=	6845,57	kN
nosivosti po omotaču šipa	=	7189,173	kN
Ukupna nosivost po bazi i omotaču šipa N _{dop}	=	7189,173	kN



- Nosivost baze šipova je zanemarena
- Nosivost omotača prema teoriji iz Pravilnika
- Ukupna dužina projektovanih šipova 1500mm = 416m

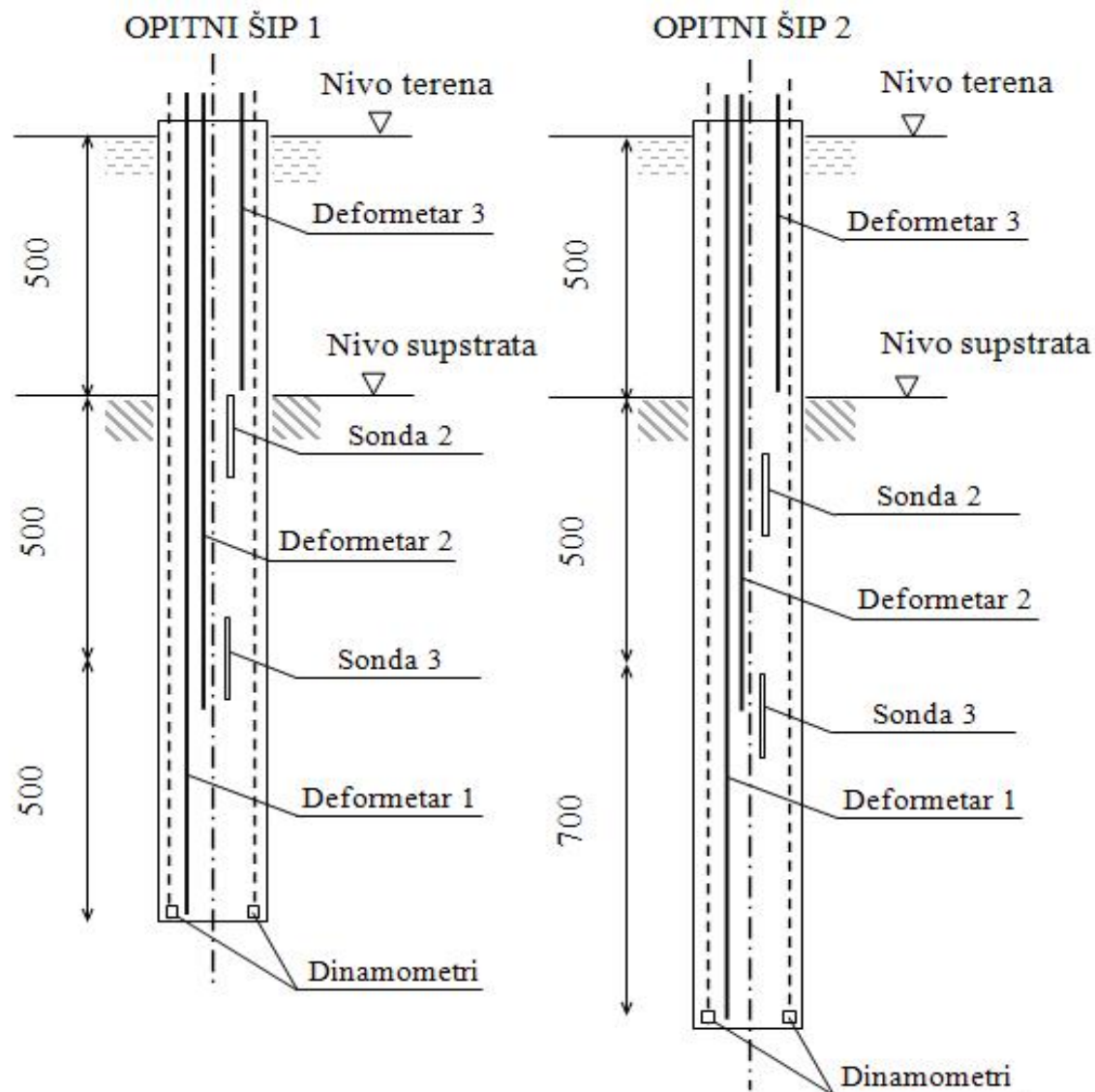


Eksperiment in situ



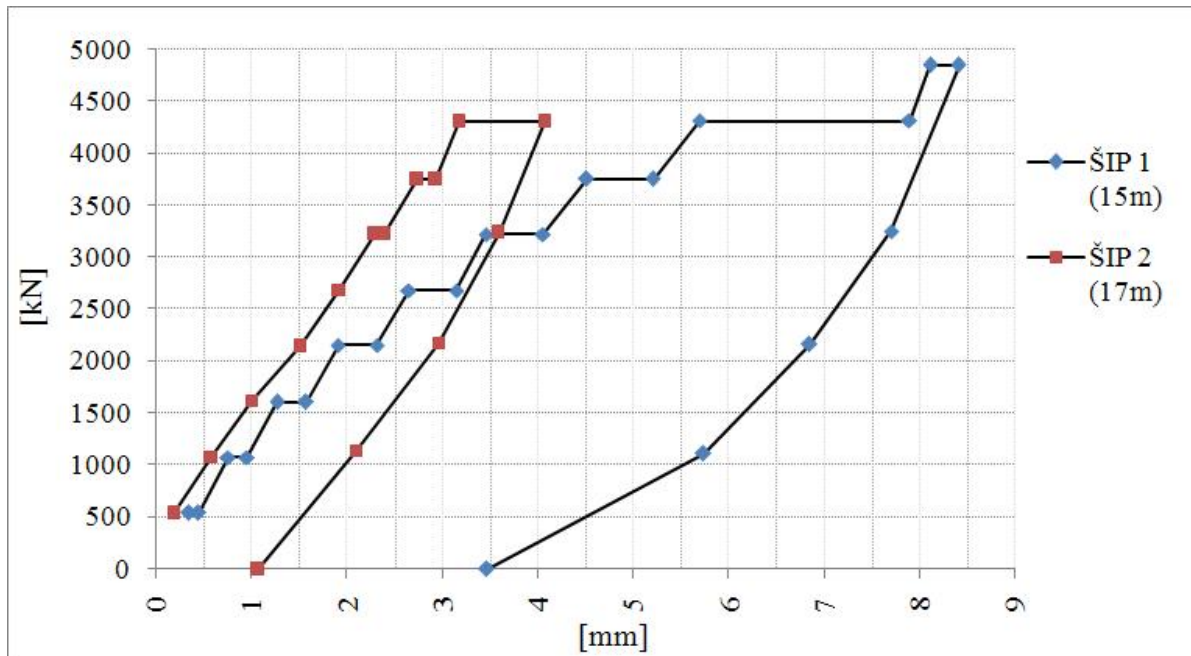


- Cijevni deformetri :
- postavljeni na tri nivoa te se pomoći u njih može odrediti skraćenje šipa
- Mjerni sonde :
- za mjerjenje dilatacija šipa
- Dinamometri :
- prenika 50mm, mjerjenje sile na kontaktu baze šipa sa stijenskom masom



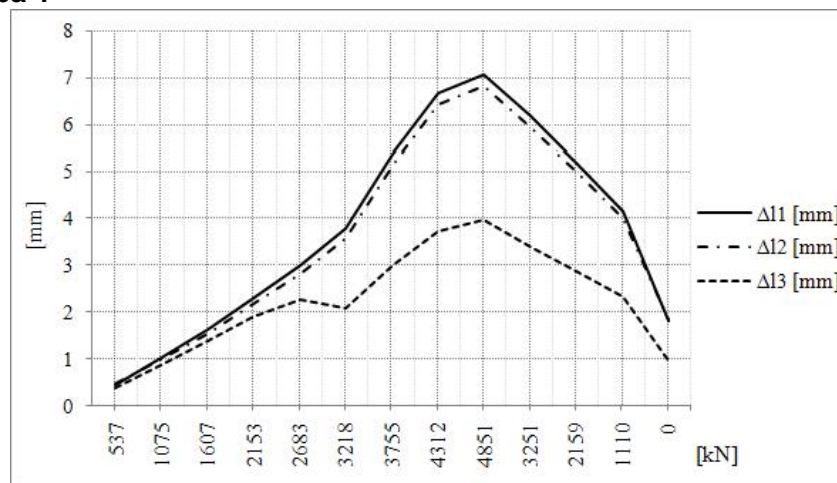


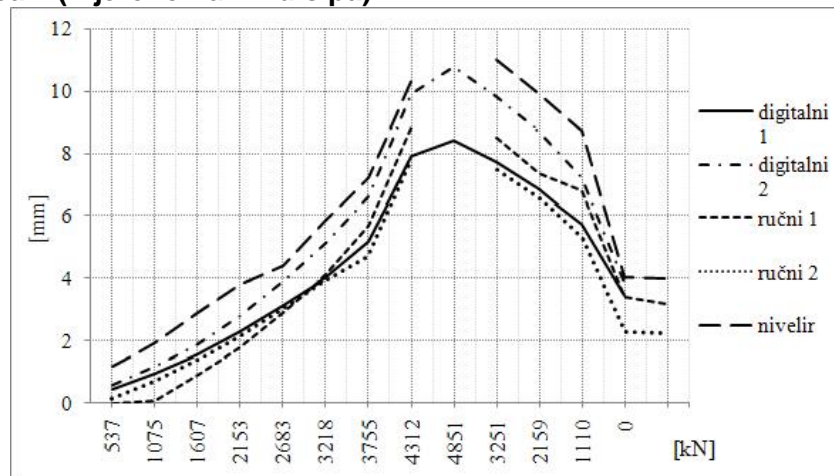
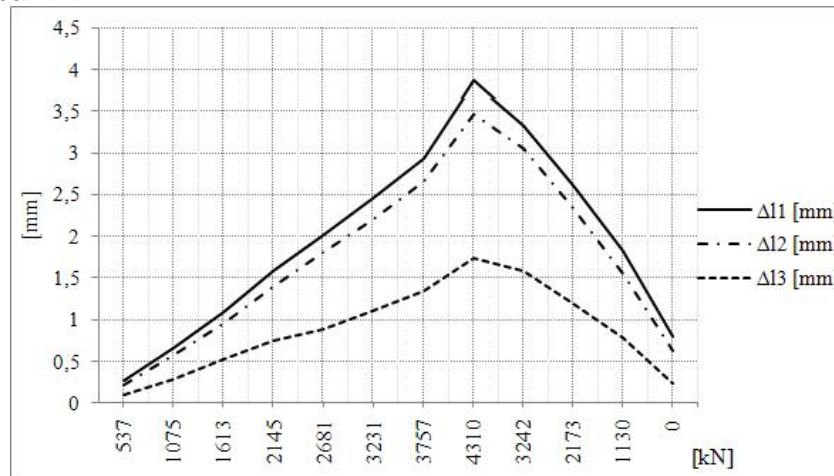
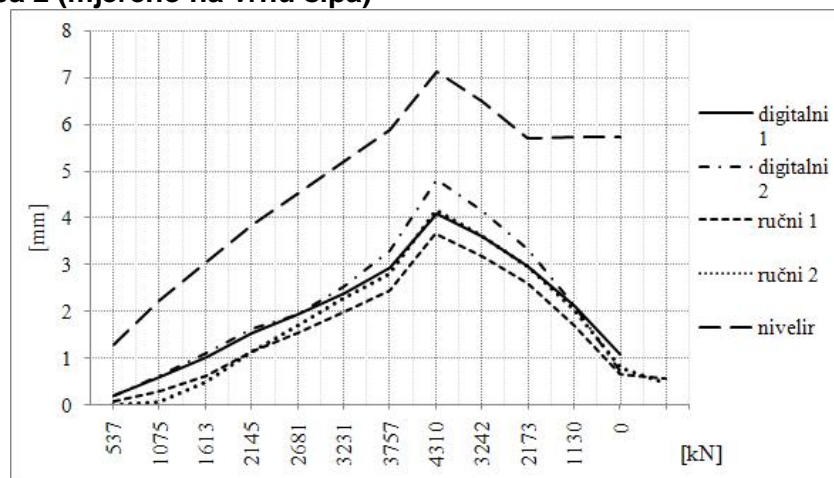
Vremenski prikaz dijagrama sila/slijeganje



obzirom da tijekom ispitivanja nije nastupio slom tla u okolini šipa, graničnu nosivost je jedino moguće odrediti ekstrapolacijom na osnovu izmjerene sile i veličine pomjeranja

Skraćenje šipa 1



**Slijeganja šipa 1 (mjereno na vrhu šipa)****Skraćenje šipa 2****Slijeganja šipa 2 (mjereno na vrhu šipa)**

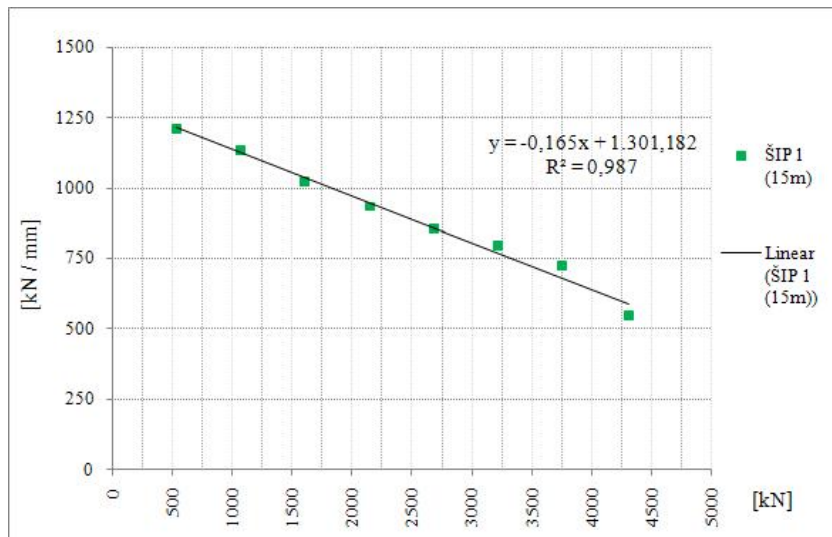


Za oba testna šipa nije nastupilo niti jedno od graničnih stanja loma :

1. kontinuirani porast slijeganja za jednak nivo opterećenja (slom tla)
2. velika slijeganja koja se ne smije prekoriti (upotrebljivost nadkonstrukcije vijadukta)

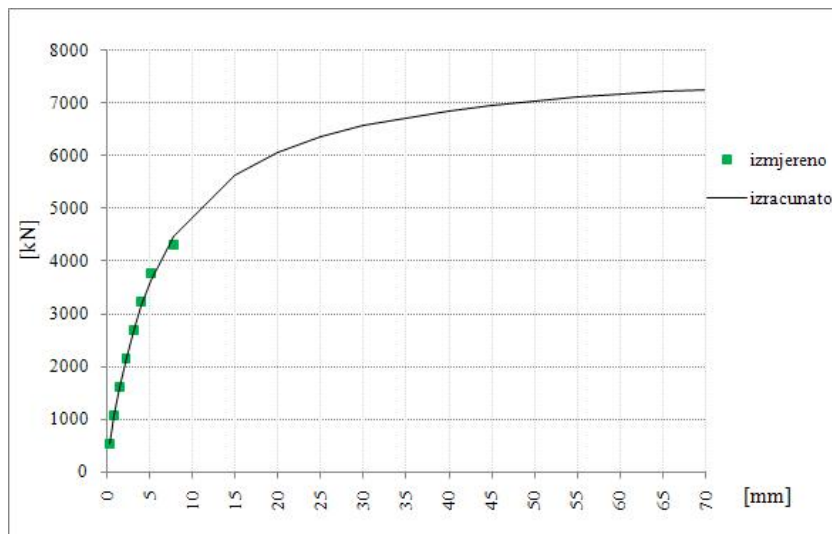
Uslov da inkrement slijeganja bude manji od 0,25mm/h za jednak nivo opterećenja u pojedinim fazama testiranja je imao tendenciju opadanja već nakon jednog sata što ukazuje na brzo uspostavljanje ravnotežnog stanja pritisnutog šipa i okolnog tla.

Ukupna granična sila u šipu 1



$$Q_1 = \frac{C_2}{C_1} = \frac{1301,182}{0,165} = 7876,50 \text{ kN}$$

Granična sila loma šipa 1

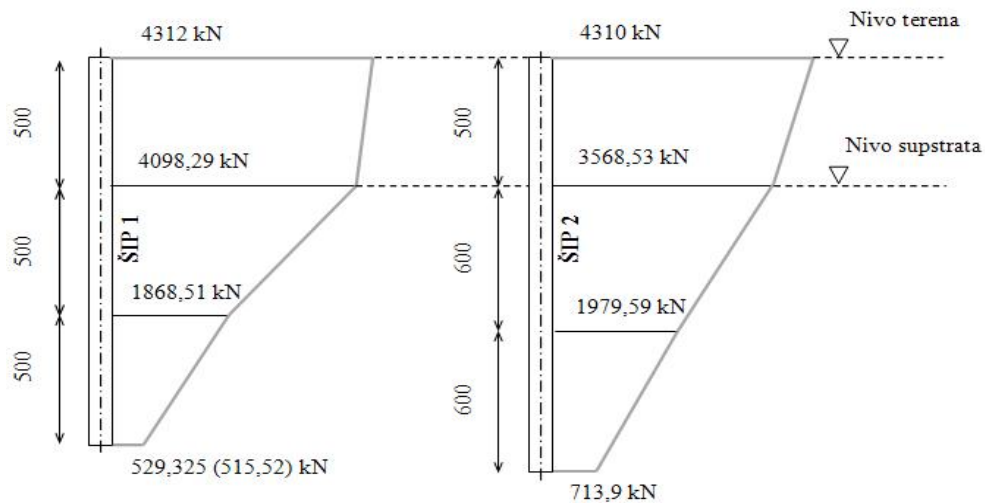


$$Q = \frac{C_2 \cdot S}{1 - C_1 \cdot S}$$



Izračunato prema veličini dilatacije u presjecima

Ekstrapolacija rezultata metodom Decourt-a



Q_d prema Pravilniku

		Karakteristike šipa	
aktivna dužina šipa =	15 m		
prečnik tijela šipa =	600 mm	provršina baze šipa =	0,28 m ²
prečnik vrha šipa =	600 mm	obim šipa =	1,884 m
gornja kota šipa =	0 m	zapreminska težina nad sloja =	19 kN/m ³



Istraživački potencijali i primjena suvremenih tehnologija...

		Nosivost omotača sloj pokrivača				
		prisutnost vode NE				
detalj proračuna		parametri tla				
vertikalni in situ pritisak q =	47,5 kPa	debljina sloja =	5 m			
prosječni horizontalni pritisak =	4,5879 kPa	zapreminska težina γ =	19 kN/m³	γ' =	19 kN/m³	
dopuštena otpornost na smicanje =	7,8 kPa	cohezija c =	8 kPa	cₘ =	3,2 kPa	
otpor u sloju =	73,362 kN	ugao unutrašnjeg trenja φ =	15 °	φₘ =	10,0 °	
		koeficijent mirovanja k₀ =	0,8			
		Nosivost omotača sloj supstrata				
		prisutnost vode NE				
detalj proračuna		parametri tla				
vertikalni in situ pritisak q =	205 kPa	debljina sloja =	10 m			
prosječni horizontalni pritisak =	29,427 kPa	zapreminska težina γ =	22 kN/m³	γ' =	22 kN/m³	
dopuštena otpornost na smicanje =	49,4 kPa	cohezija c =	50 kPa	cₘ =	20,0 kPa	
otpor u sloju =	931,21 kN	ugao unutrašnjeg trenja φ =	26 °	φₘ =	17,3 °	
		koeficijent mirovanja k₀ =	0,7			
		Nosivost baze				
		parametri tla na nivou baze				
detalj proračuna		parametri tla na nivou baze				
vertikalni pritisak na nivou baze q =	348 kPa	visina uklještenja baze =	3 m			
Nq =	8	zapreminska težina γ =	22 kN/m³	γ' =	22 kN/m³	
Nγ =	3	cohezija c =	50 kPa	cₘ =	20,0 kPa	
Nc =	50	ugao unutrašnjeg trenja φ =	26 °	φₘ =	17,3 °	
dopušteni pritisak baze na tlo =	2974,4 kPa	koeficijent mirovanja k₀ =	0,7			
nosivost baze šipa =	840,55 kN					
		Ukupna nosivost šipa = 1845,123 kN				

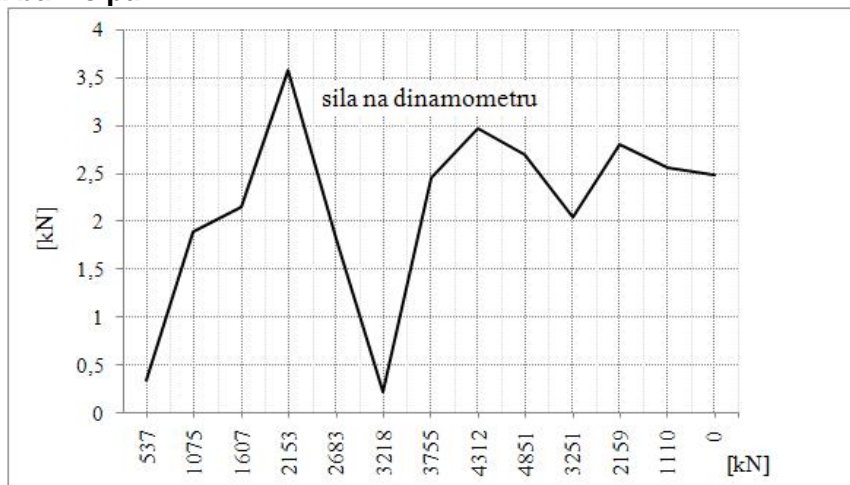
Omotač u pokrivaču 73 kN
(zanemaren u projektu)

Omotač u supstratu 931 kN
Baza 840 kN
(zanemarena u projektu)

Ukupno : 931 kN

Opterećenje prekinuto
za vrijednost sile od
4400 kN

Izmjereno na bazi šipa 1





Izmjerena nosivost baze 515 kN

Nosivost baze prema Pravilniku 840 kN

Da li Projektant s pravom nije uzimao u obzir nosivost baze ?

Eksplotacija rezultata

$$Q_{1\perp} = 7876,50 - W_1 = 7770,50 \text{ kN}$$

$Q_{p,din} = 515,520 \text{ kN}$ (izmjerena sila na bazi šipa pomoću dinamometra)

$Q_{b,dil} = 529,325 \text{ kN}$ (izračunata sila na bazi šipa, prema veličini dilatacije)

$$Q_s = Q_{\text{slu}} - Q_{\text{h dil}} = 7770.50 - 529.325 = 7241.175 \text{ kN} \quad (\text{dio sile koju preuzima omotač šipa})$$

$$q_b = \frac{Q_{b,dil}}{A_b} = \frac{529,325}{0,6^2 \cdot \pi \cdot 0,25} = 1872 \text{ kPa} \text{ (granični otpor na bazi šipa)}$$

$$q_s = \frac{Q_s}{A_s} = \frac{7241175}{0,6 \cdot \pi \cdot 10} = 384,35 \text{ kPa} \quad (\text{granični otpor po omotaču šipa})$$

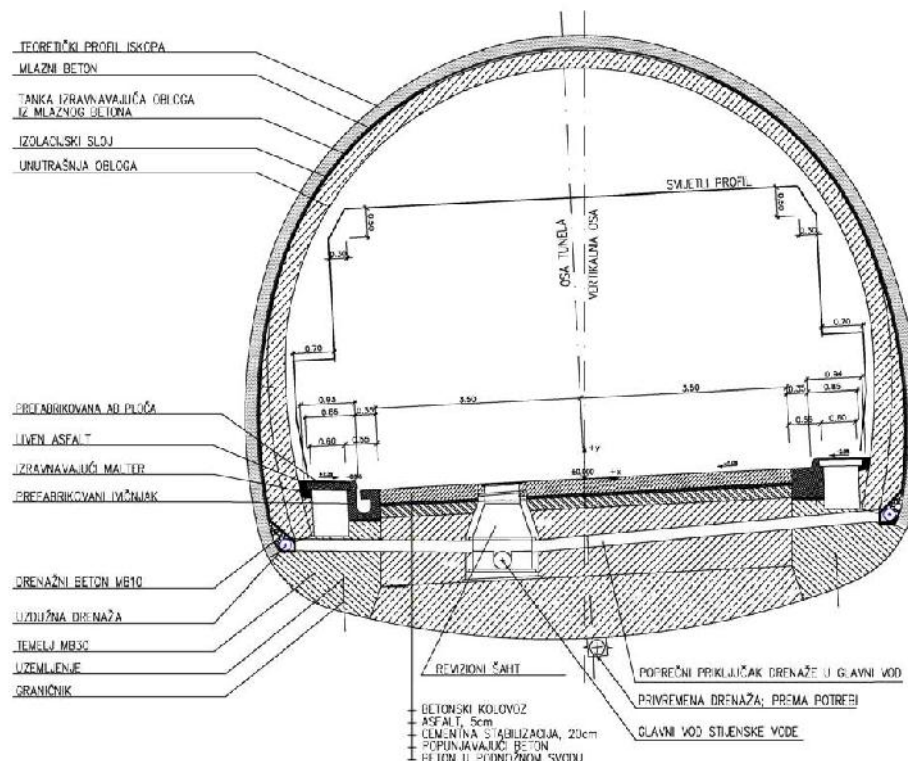
Dobivena nosivost omota a šipa 7241 kN (ekstrapolacija)

Nosivost omota a prema Pravilniku 931 kN

Minimalna nosivost omotača iznosi cca 3900 kN...

2. METODA OPAŽANJA U TUNELIMA

2.1. Tipi an popre ni presjek tunela prema NATM



Istražne bušotine samo na portalima tunela



Projektant pretpostavlja geologiju

Empirijski pristup (RMR)

Katalog rješenja

Šta smo mogli očekivati ?

Šta smo trebali uraditi ?

Možemo li imati kvalitetan projekat ?

Kako riješiti problem ?

Podgrada

Geotehnički model



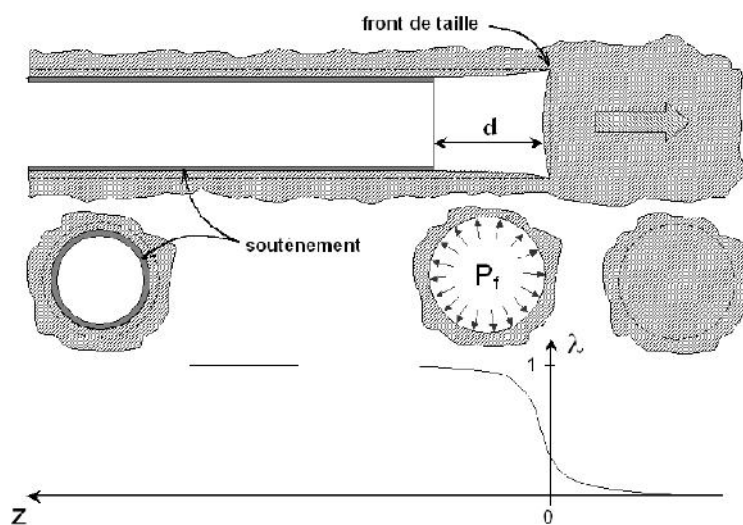
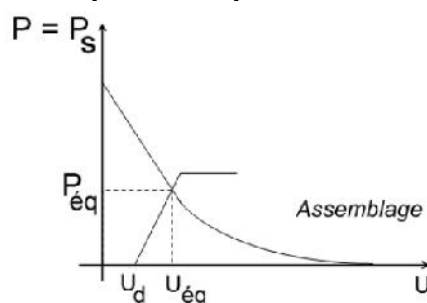
Mjerni profil

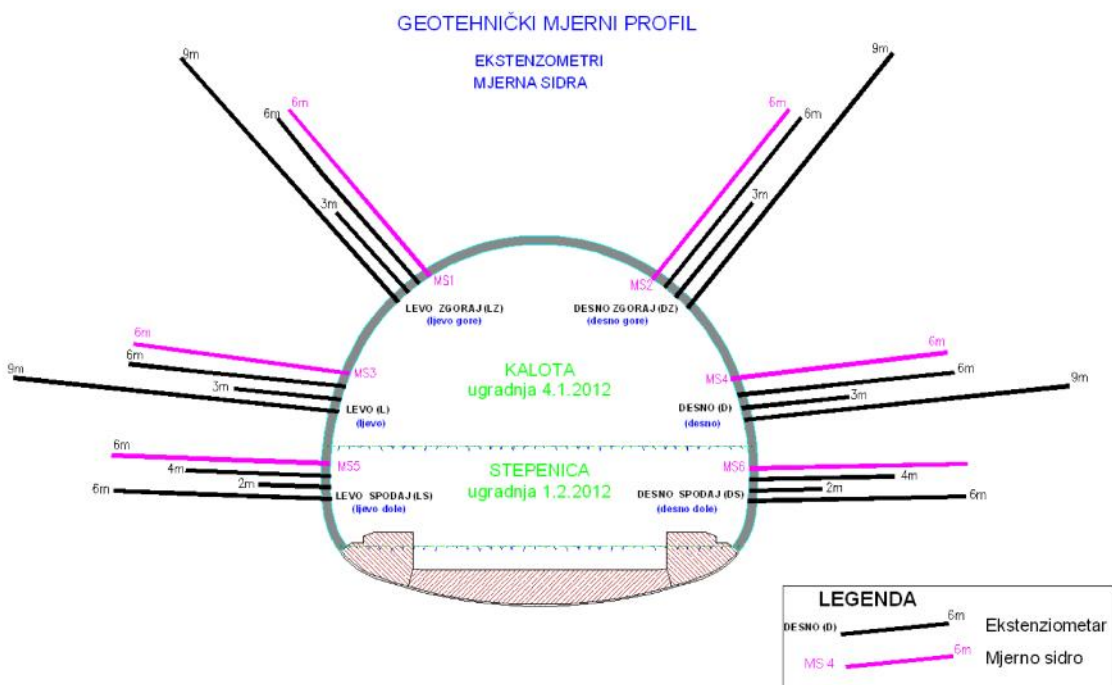
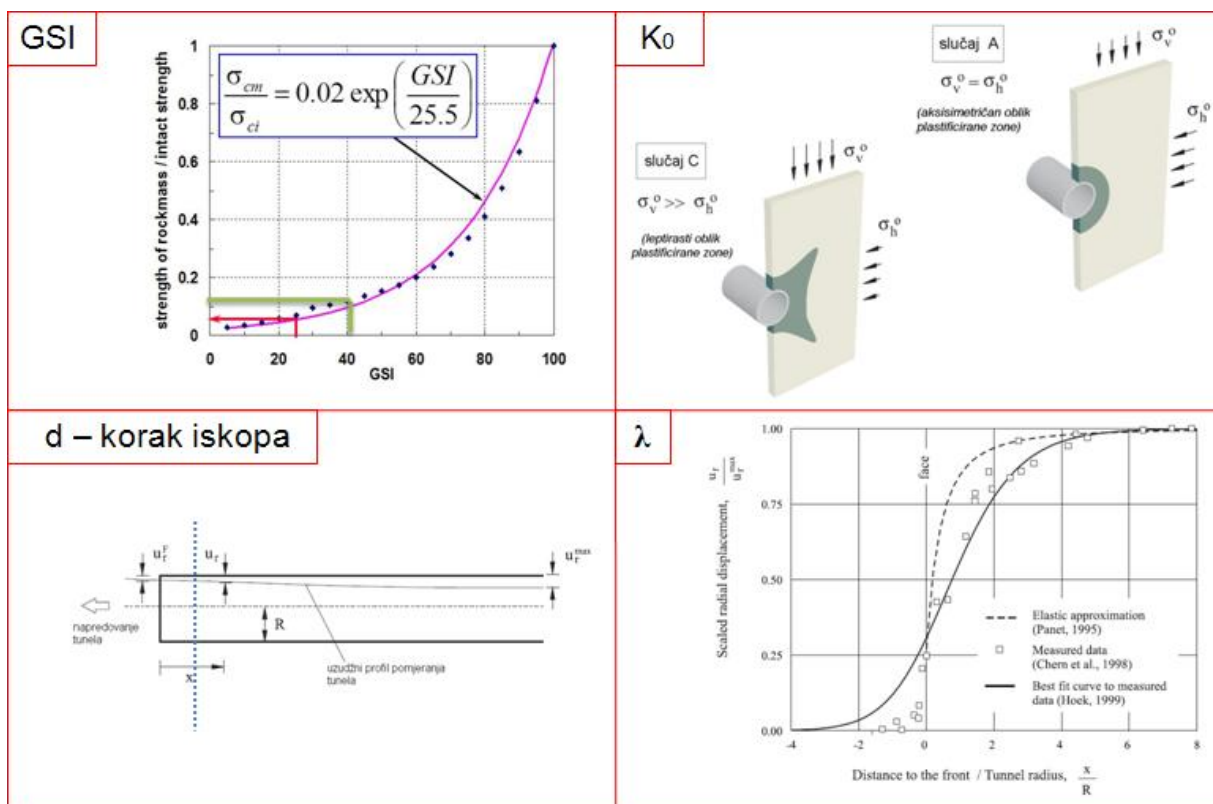


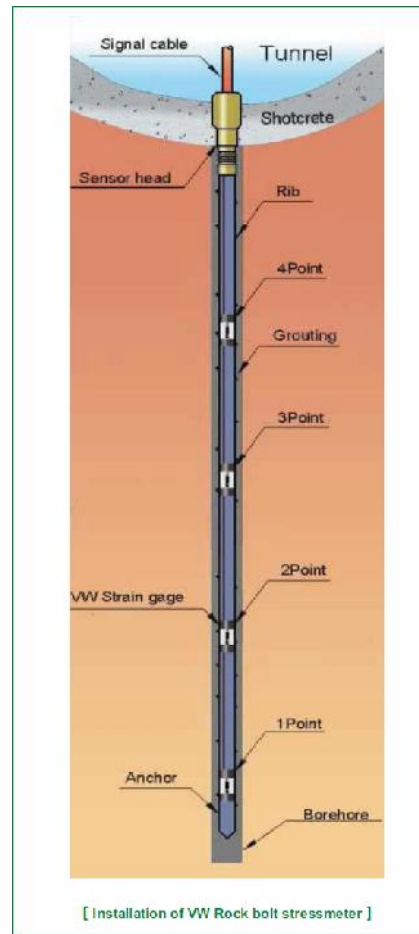
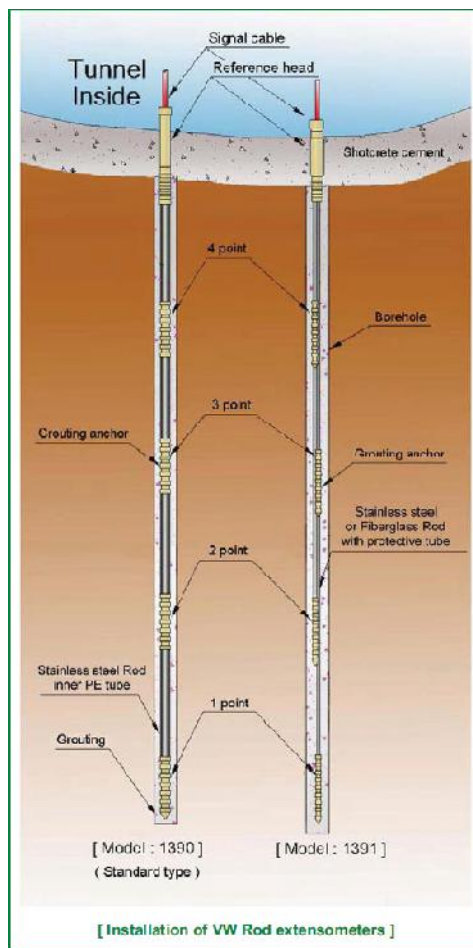
Deformacije i sile



Šta su parametri povratne analize ?

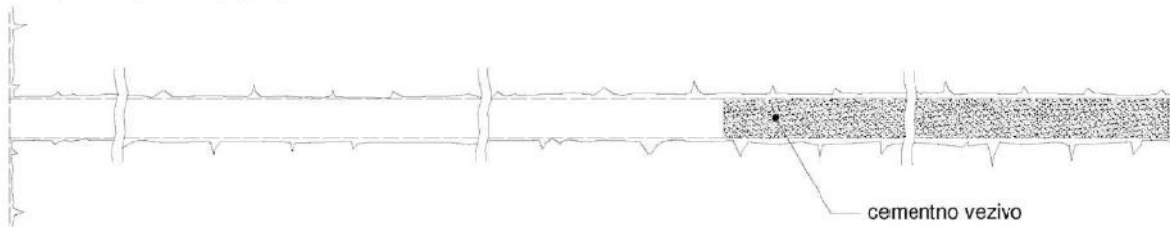




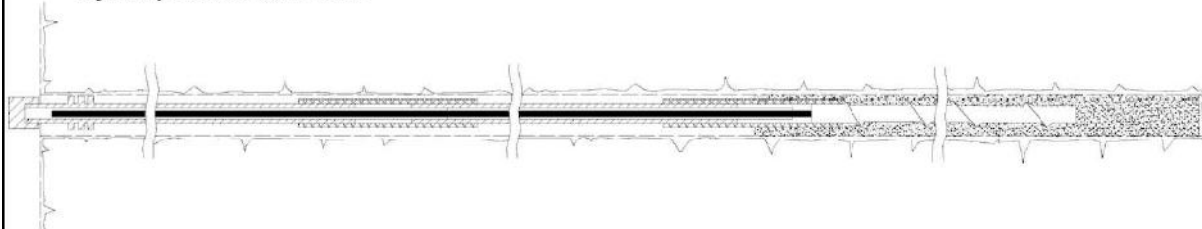




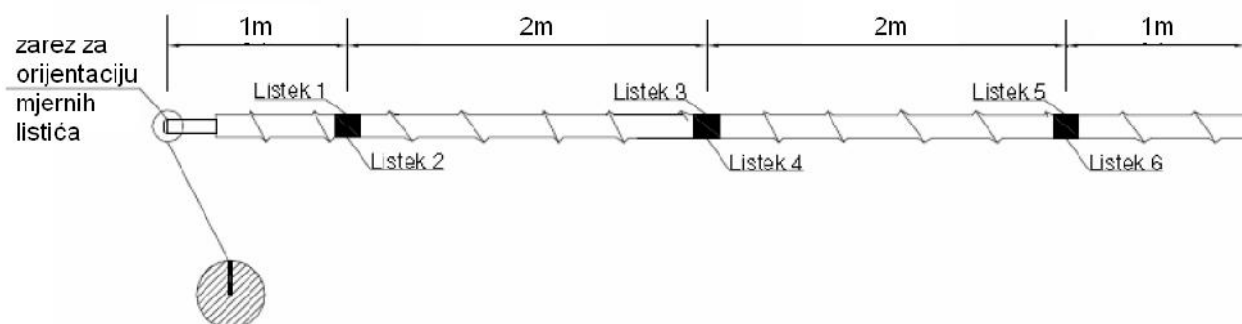
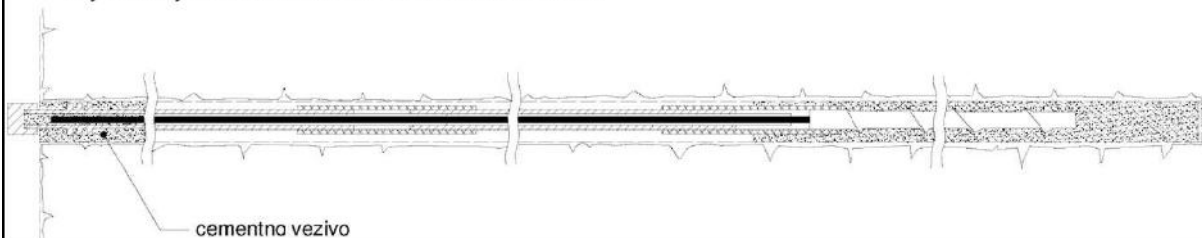
Injektiranje zadnjeg dijela bušotine cementnim vezivom



Ugradnja ekstenziometra



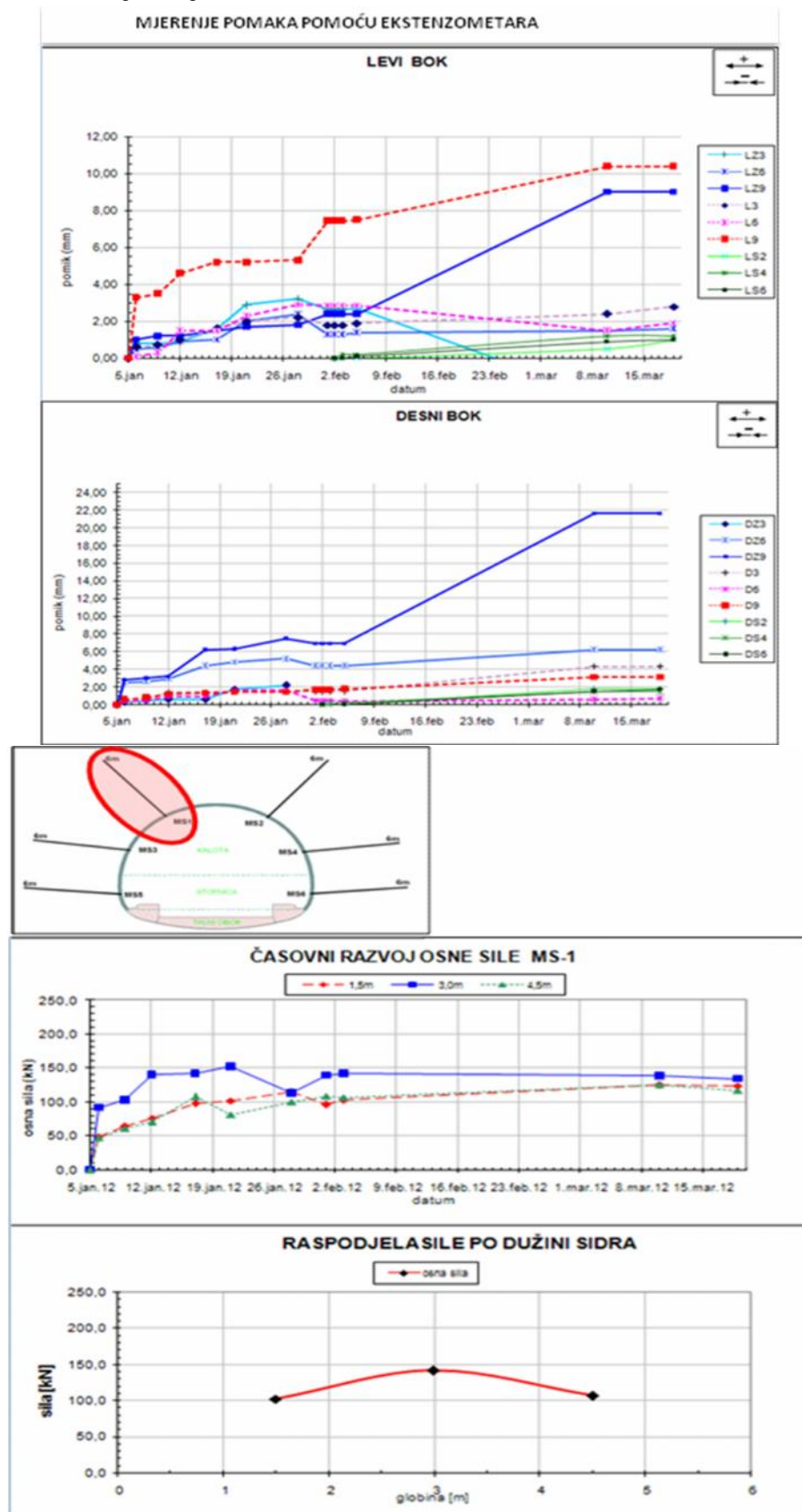
Injektiranje vrha bušotine cementnim vezivom





Istraživački potencijali i primjena suvremenih tehnologija...

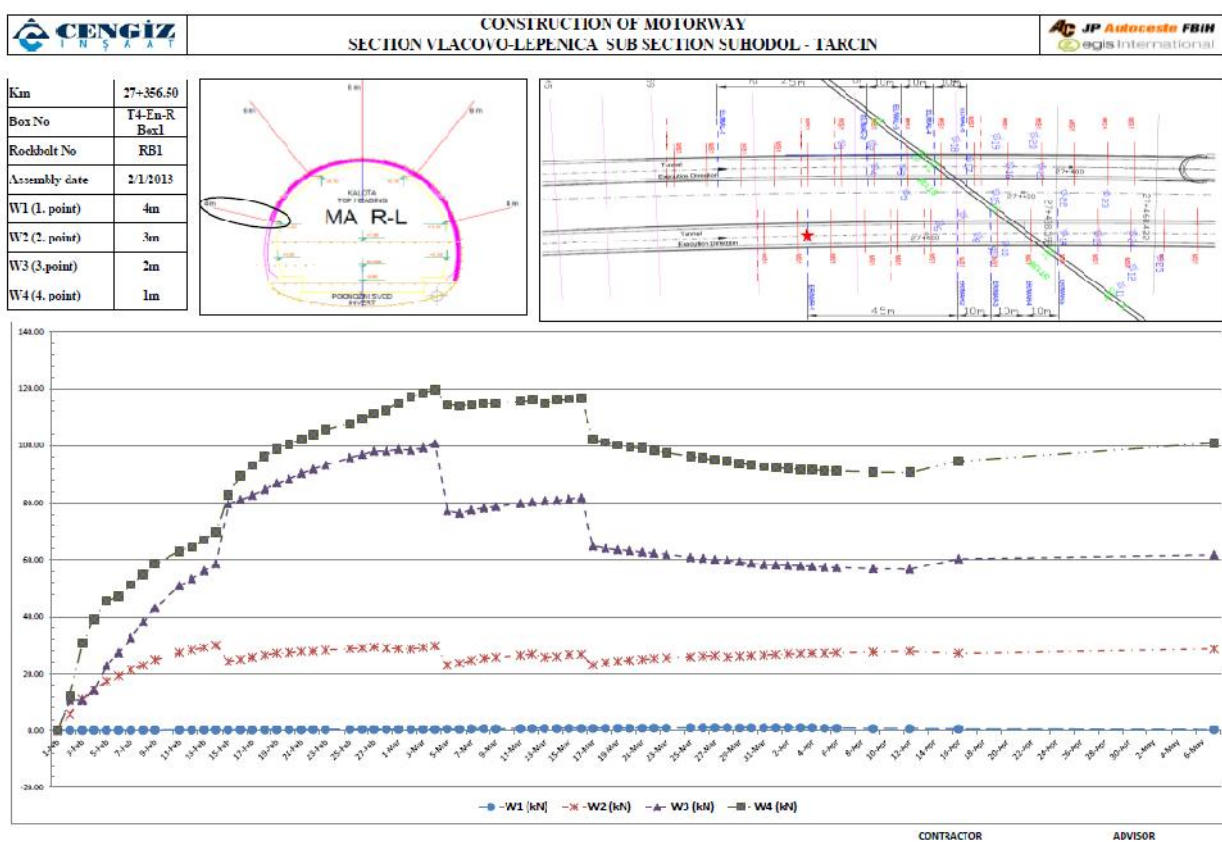
Tipični rezultati mjerjenja – tunel VIJENAC



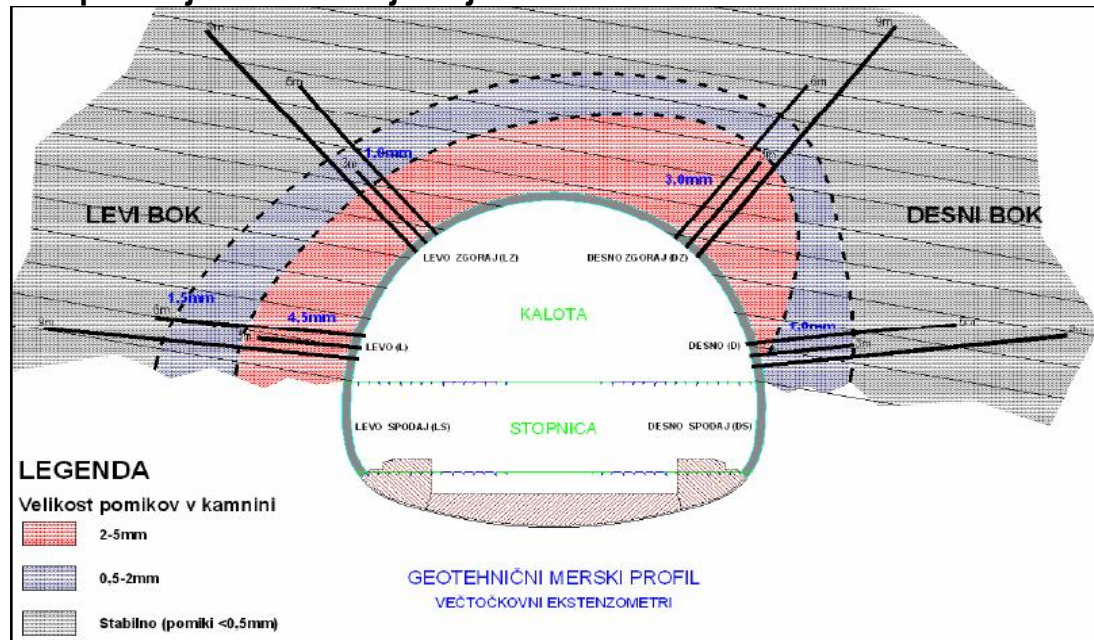


Istraživački potencijali i primjena suvremenih tehnologija...

Tipični rezultati mjerjenja – tunel TAR IN

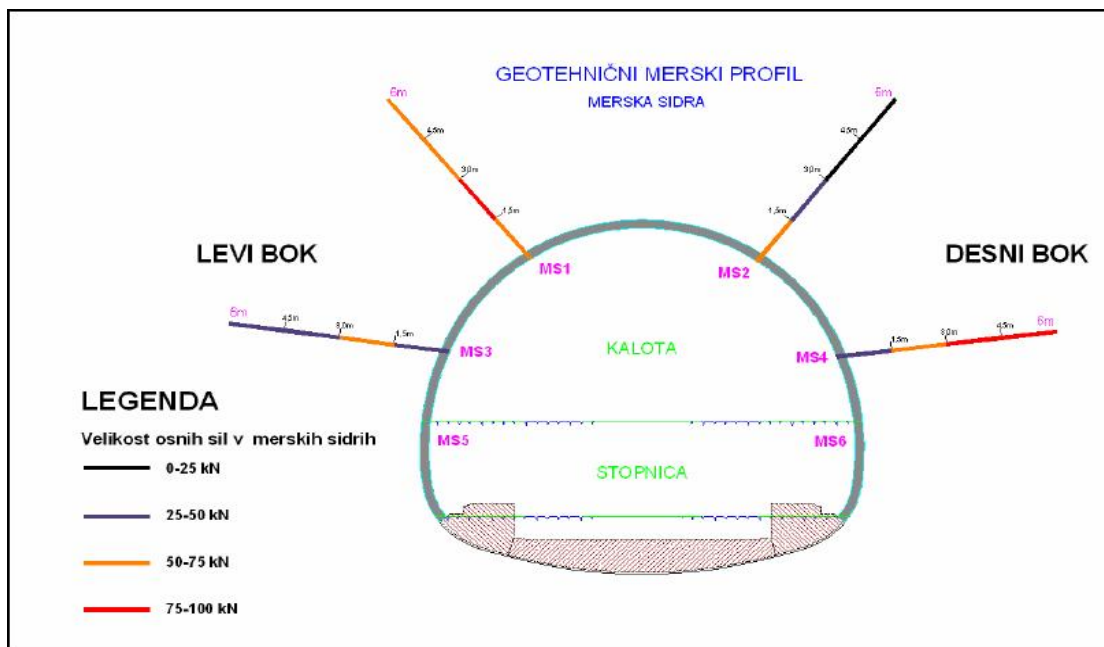


Interpretacija rezultata mjerjenja – tunel VIJENAC





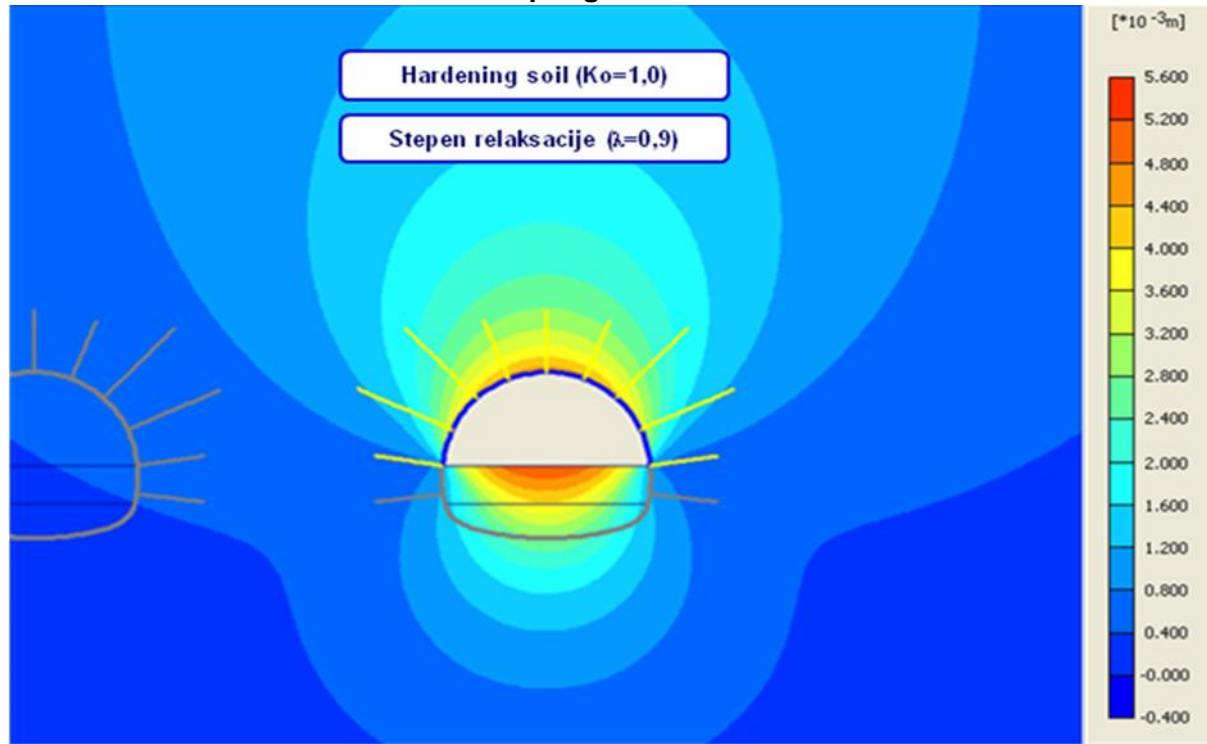
Istraživački potencijali i primjena suvremenih tehnologija...



+ kontrolno mjerjenje
geodetskim reperima na mjestu ugra enog merskog profila



Povratna analiza stabilnosti tunelske podgrade – tunel VIJENAC



Iterativni postupak

re-evaluacija po etnom stanju napona (K_o)

re-evaluacija stepena relaksacije (λ)

Prvobitno predloženi sistem podgrade (Glavni projekt, G21) za posmatranu sekciju tunela je u značajnoj mjeri konzervativan

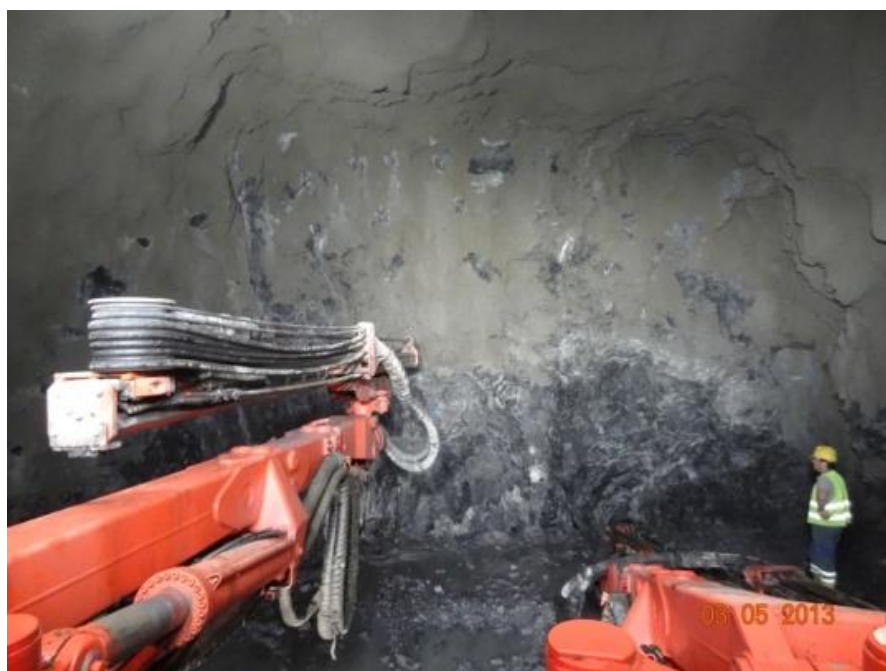
Tipičan rezultat na mjerskom profilu

Faza projekta	Korak iskopa	Debljina prskanog betona	Dužina sidara	Mobilizacija sidara	Maksimalne konvergencije
G21-glavni projekt	1,8m	25cm	6m i 9m	100% bokovi	20mm
G32-povratna analiza	2,1m	20cm	4m i 6m	50% bokovi	5mm

Dobiveni geotehnički model tunela se kasnije koristi za druge lokacije
Kontinuirana optimizacija primarne podgrade



3. SAVREMENE TEHNOLOGIJE MIKROARMIRANI PRSKANI BETON

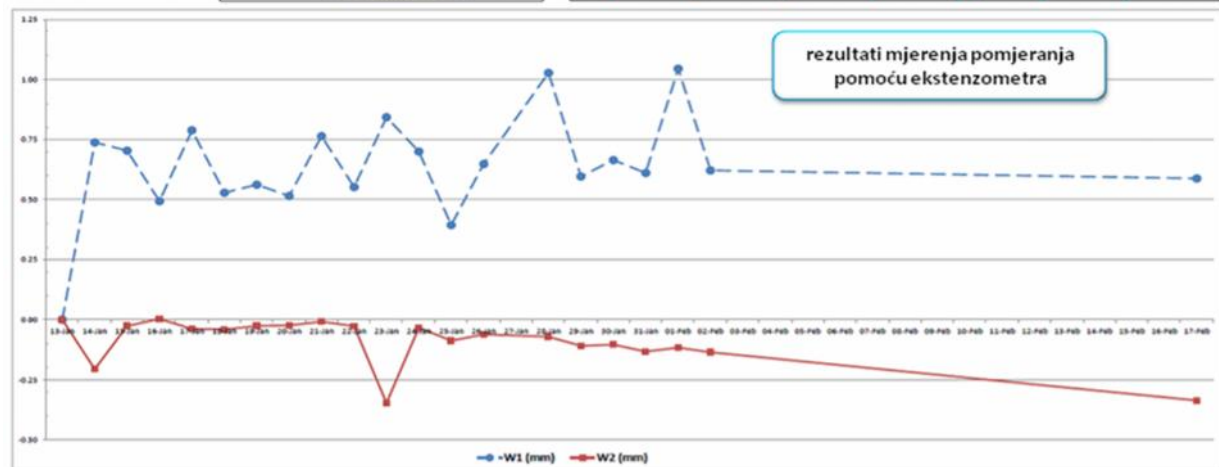
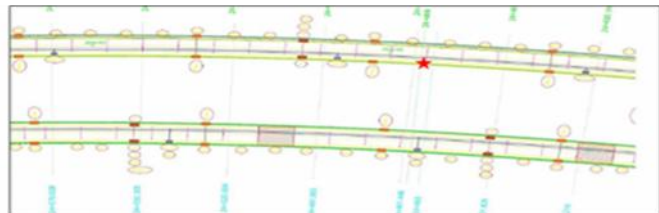




Istraživački potencijali i primjena suvremenih tehnologija...

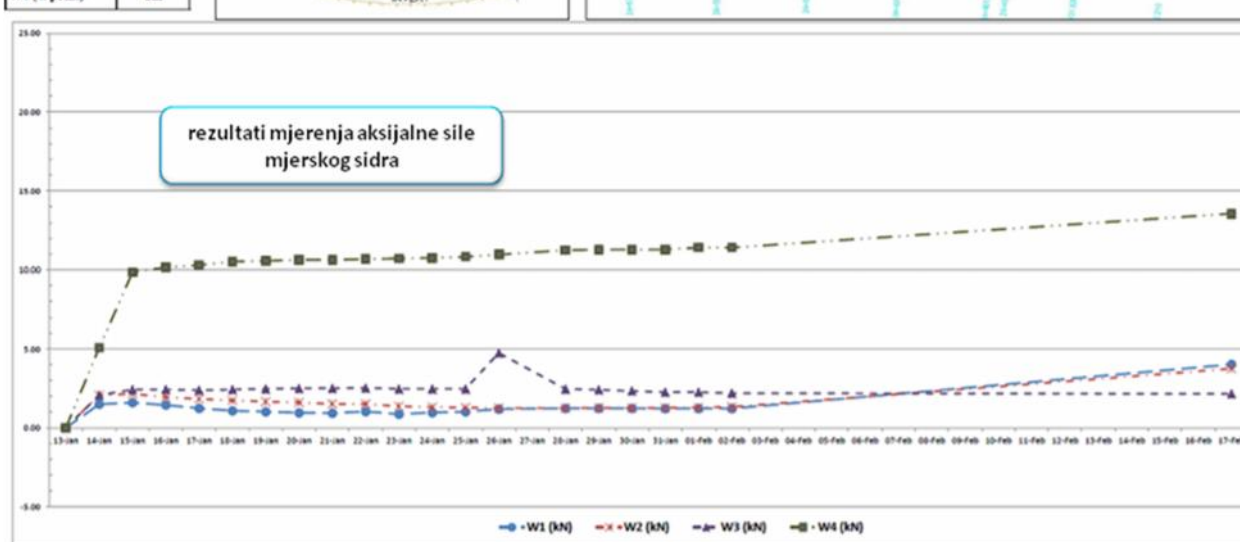
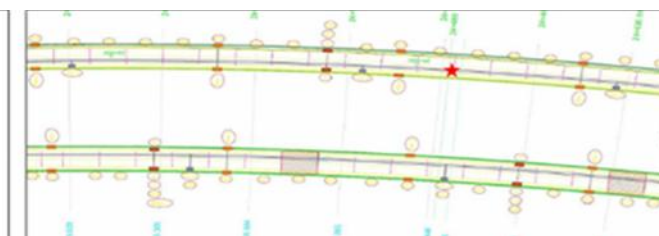
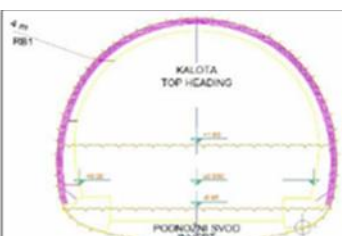
Testno polje sa mikroarmiranim betonom – rezultati

Kim	24+489,50
Box No	T3-En-R 1
Exmtre No	E1
Serial Number	720572
Assembly date	12-01-13
W1	2m
W2	4m



Testno polje sa mikroarmiranim betonom – rezultati

Kim	24+489,00
Box No	T3-En-R 1
Rockbolt No	RB1
Assembly date	12-01-13
W1 (1. point)	4m
W2 (2. point)	3m
W3 (3.point)	2m
W4 (4. point)	1m

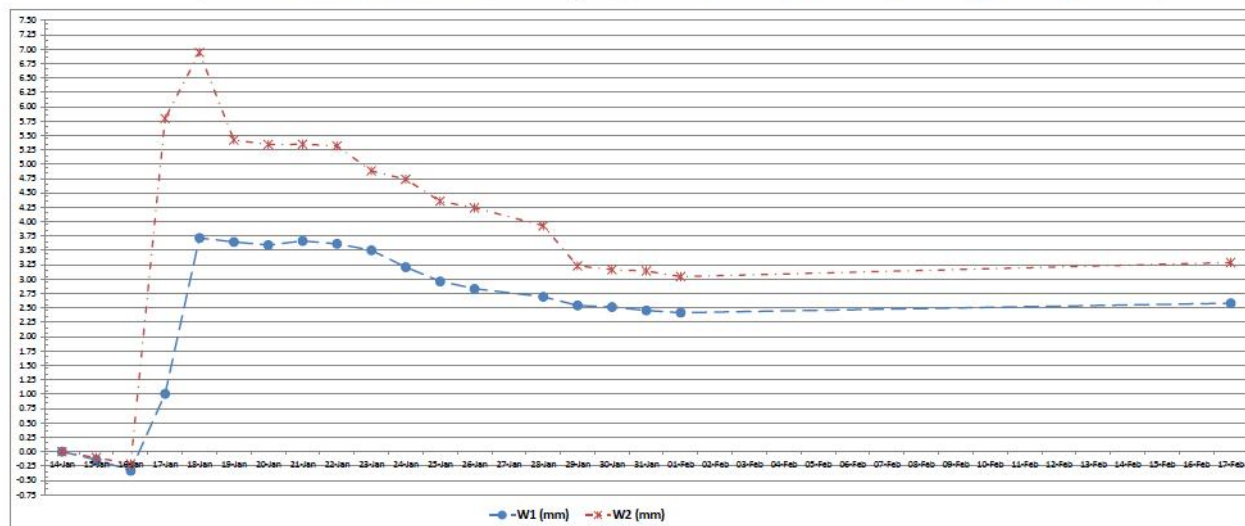
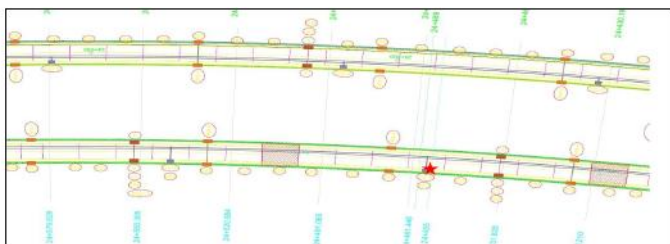
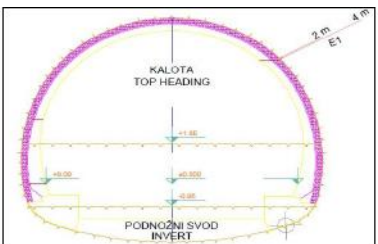




Istraživački potencijali i primjena suvremenih tehnologija...

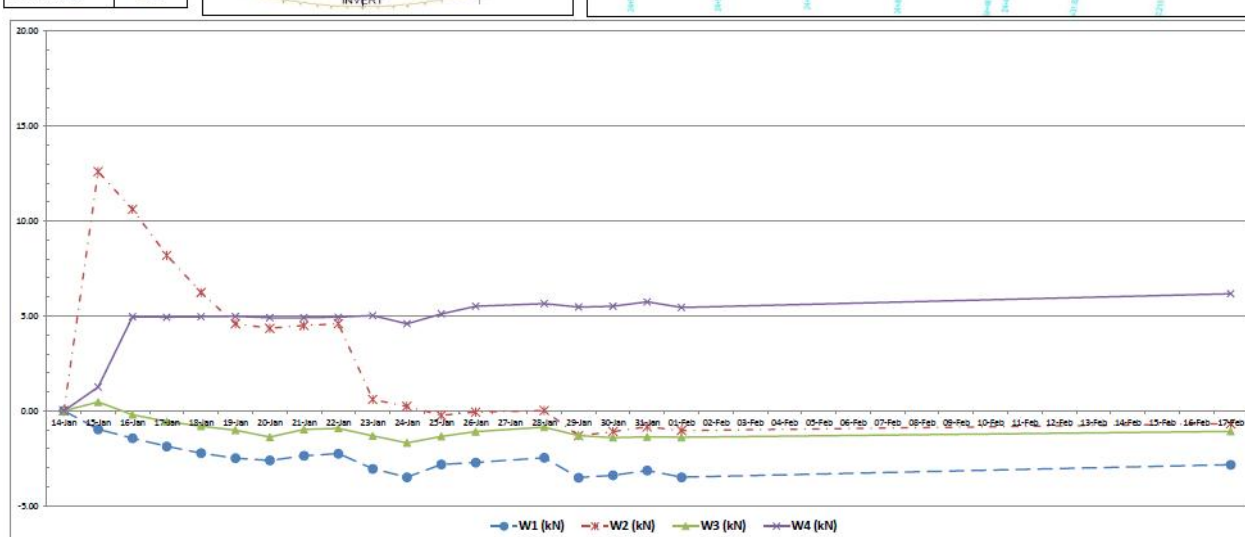
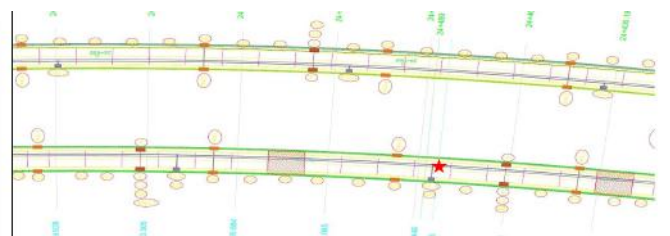
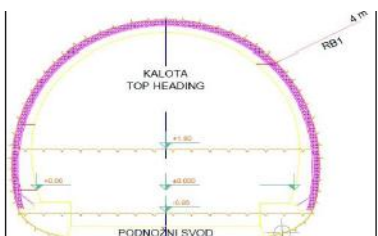
Testno polje sa konvencionalnim betonom – uporedni rezultati

Kim	24+455,00
Box No	T3-En-L 1
Exmtr No	E1
Serial Number	720576
Assembly date	13-01-13
W1	2m
W2	4m



Testno polje sa konvencionalnim betonom – uporedni rezultati

Kim	24+455,00
Box No	T3-En-L 1
Rockbolt No	RB1
Assembly date	13-01-13
W1 (1. point)	4m
W2 (2. point)	3m
W3 (3. point)	2m
W4 (4. point)	1m





Rezultati iz testnog polja pokazuju da su pomjeranja u ekstenzometrima manja te sile u mjernim sidrima veće u poređenju sa istim u konvencionalnoj oblozi, za date geološke uslove iskopa (RMR = 40)

Navedene razlike su veoma male, tako da se može zaključiti da obloga od mikroarmiranog prskanog betona pokazuje slično ponašanje kao i konvencionalna obloga sa mrežama i elastičnim lukovima, za date geološke uslove iskopa (RMR = 40)

U svim provedenim povratnim analizama, vrijednost momenta savijanja u oblozi ne prelazi 10kNm, što je niže od vrijednosti koje su ispitane i dokumentovane u literaturi za mikroarmirani prskani beton ($M_{max} = 20\text{kNm}$)